Identificação de formas de fósforo por RMN ³¹P em processo de degradação da macrófita *Typha angustifolia* L.

Caroline Silva de Oliveira¹ (IC), Fernando Petacci^{1*} (PQ). Silvia de Sousa Freitas¹ (PQ), Luciano Morais Lião² (PQ), Rafael Choze² (PG) *petacci_f@hotmail.com*

- 1. DQ CAC-UFG Avenida Lamartine P. Avelar, 1120, Setor Universitário, Catalão-GO, 75.704-020;
- 2. IQ-UFG Campus Samambaia-Goiânia-GO.

Palavras Chave: Typha angustifolia, RMN 31P ,processo de degradação

Introdução

Macrófitas, como *Typha angustifolia*, tem grande importância ecológica nos leitos aquáticos devido a sua grande capacidade de ciclagem de macro e micro nutrientes desses sistemas no decorrer de seus ciclos de vida. Estima-se que durante o processo de degradação das macrófitas, essas sejam responsáveis pela maior concentração de fósforo na coluna d´agua e, dessa forma, sejam grandes responsáveis pela disponibilidade desse nutriente e pela manutenção desses ecossistemas.

Este trabalho visou determinar as diferentes de fósforo durante o processo de formas decomposição da macrófita Typha angustifolia utilizando RMN 31P. Amostras secas de T. angustifolia, foram submetidas à decomposição em câmaras plásticas (500 mL) com aeração diária. Os tempos de amostragem foram 3, 15, 30, 60, 90 e 120 dias. Amostras denominadas in natura, ou seja, antes de serem degradadas, também foram analisadas (zero dia). Em cada etapa avaliada, amostras (n=3) eram retiradas da água, lavadas com água destilada e então extraídas com NaOH 0,25 mol.L⁻¹ por 20 min. Após filtração, cada solução obtida foi liofilizada e seu resíduo solubilizado em D₂O. As medidas de RMN 31P foram feitas em equipamento modelo Avance III 500 MHz, Brücker.

Resultados e Discussão

Foram observados sinais nos espectros de RMN 31P na faixa entre +6 e - 6 ppm nas aquisições feitas (Figura 1). A amostra in natura mostra um forte sinal em 6,0 ppm atribuído a ortofosfato inorgânico (Pi). No decorrer do tempo observou-se aparecimento de outras formas de fósforo e diminuição gradativa do ortofosfato inorgânico e consequentemente o aumento da concentração das outras formas, que geraram sinais entre 4-6 ppm, entre -1 – 0 ppm e entre -3 e -5 ppm em tempos variados. De acordo com Turner & Newnam¹, os sinais entre 4 e 6 ppm indicam a presenca espécies de fósforo ligados a estruturas orgânicas (Po) (monoésteres ortofosfato) como ácido fosfatídico (5,24 ppm) e β-glicerofosfato (4,84 ppm), ambos provenientes de hidrólise de fosfolipídios. processo de fosfatidilcolina. promovida pelo degradação dos tecidos vegetais da planta. O sinal

em 4,58 ppm, é atribuído a produto de degradação de nucleotídeos provenientes de RNA. Os sinais entre -1 - 0 ppm são proveniente de fragmentos de DNA e sinais entre -3 e -5 indicam presença de polifosfatos orgânicos^{1,2}.

A partir dos dados adquiridos foram feitas correlações entre o desaparecimento do sinal de fósforo inorgânico (Pi) e o aparecimento de outras formas de fósforo (Po) nas amostras no decorrer do tempo. A razão das áreas sob os sinais dessas regiões (Pi/Po) gera uma correlação bastante alta entre os dados em função do tempo (R=0,7689) por regressão linear, sugerindo que deve haver lixiviação dessas formas em diferentes tempos no processo de degradação.

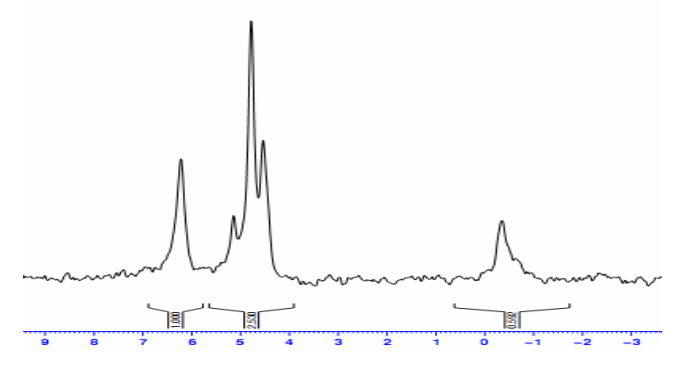


Figura 1: Expansão do espectro de RMN 31P de *T. angustifolia* após 30 dias de degradação.

Conclusões

Os dados apontam para a liberação de formas de fósforo derivadas de espécies orgânicas para o meio no decorrer da degração de *T. angustifolia*, sugerindo que essas espécies possam também contribuir para a manutenção da concentração de fósforo nos leitos aquáticos.

Agradecimentos

Ao CNPq-PIBIC-UFG pela bolsa de C. S. Oliveira.

¹ Turner B. L. & Newman, S. Phosphorus Cycling in Wetland Soils: The Importance of Phosphate Diesters. Journal of Environment Quality. 2005, vol. 34, pp. 1921–1929.

² Mcdowell, R. W., Cade-Menun, B., Stewart, I. Organic phosphorus speciation and pedogenesis: analysis by solution ³¹P nuclear magnetic resonance spectroscopy, European Journal of Soil Science, 58:6, 1348 – 1357